

· 实验研究 ·

茵陈蒿汤及其提取物对急性黄疸大白鼠防治效应的初步研究

香港中文大学中药研究中心 郑若玄 陈逸诗 庄国汾 张雄谋

内容提要 本文采用大白鼠一次口服大剂量异硫氰酸 α -萘酯(ANiT, 100mg/kg)作为急性黄疸模型, 研究茵陈蒿汤复方中的有效成份对肝损伤的防治效应。实验结果证明茵陈蒿汤能非常显著地降低血清谷丙转氨酶(SGPT)和谷草转氨酶(SGOT)(P<0.001), 对血清胆红素(SB)的作用则较轻微。此外, 山栀子的乙醇、正丁醇和三氯甲烷—甲醇三种溶剂的提取物, 具有良好的降低血清胆红素、SGPT和SGOT的作用。肝组织病理学观察亦发现有一定的疗效。山栀子的有效成份鉴定为去羟栀子甙(Geniposide)。单味茵陈蒿或大黄的作用则不明显。

茵陈蒿汤是治疗急性黄疸性肝炎的经典处方, 临床实践证明, 茵陈蒿汤对黄疸指数的降低有很好的疗效, 对肝炎急性期有缩短病程减轻症状的效果⁽¹⁾。

本研究的目的是从茵陈蒿汤的组成药物中, 寻找起主要疗效作用的成分, 尤其着重于茵陈蒿和山栀子这两种素称治肝病的主药。

在实验性肝炎的研究中, 一般较常使用CCl₄肝中毒动物模型, 但是CCl₄主要导致肝细胞脂肪变性, 只能引起胆红素的轻度提高, 因此, 作为黄疸性肝炎实验模型是不够理想的。异硫氰酸 α -萘酯(α -naphthyl-isothiocyanate, 以下简称ANiT)的毒理学研究证明, 一次大剂量急性中毒, 能引起血液中胆红素和转氨酶急剧升高、胆汁流量减少、炎症细胞增加以及肝细胞灶性坏死^(2,3)。本研究采用ANiT肝中毒作为黄疸性肝炎实验模型, 研究茵陈蒿汤及其提取物对肝损伤的防治效应。这个实验模型对我们的研究结果是比较满意的。

实验材料

一、动物模型

雄性大白鼠(Sprague-Dawley), 体重297±37g。饲料为Lab.chow(Purina Co., U.S.A.)。ANiT(Aldrich Chemical Co., U.S.A.)溶于橄榄油中(2.5%, W/V), 一次灌胃中毒, 剂量为100mg/kg。

二、治疗药物

1. 茵陈蒿汤: A. 茵陈蒿 (*Artemisia capillaris* Thunb.), B. 山栀子 (*Gardenia jasminoides* Ellis),

C. 大黄 (*Rheum officinale* Baill.)。茵陈蒿汤所含三种药材的比例, 各家所用不一, 而且由于在我们早期的实验中, 发现大黄引起较严重的腹泻, 使动物过于疲弱, 为此在本研究中适当地降低大黄的含量, 即采用上述三种药材的50%乙醇提取物, 按200:150:50(mg)比例混合后溶于2.5ml蒸馏水, 为一次口服剂量。按生药计算分别为1.76g、1.20g和0.12g。

2. 三种药材的乙醇提取物

A+C 茵陈蒿乙醇提取物加大黄乙醇提取物200:50mg。

B+C 山栀子乙醇提取物加大黄乙醇提取物150:50mg。

A' 茵陈蒿乙醇提取物 400mg。

B 山栀子乙醇提取物 150mg。

C 大黄乙醇提取物 50mg。

3. 山栀子的不同溶剂提取物(提取方法见表1)

提取部分I 山栀子正丁醇提取部分, 10mg(相当于生药2g)。

提取部分II 山栀子乙酸乙酯提取部分, 10mg(相当于生药1.3g)。

提取部分III 山栀子三氯甲烷—甲醇(7:1)提取部分, 50mg(相当于生药2g)。

提取部分IV 山栀子三氯甲烷—甲醇(7:1)不溶解部分, 50mg(相当于生药1.7g)。

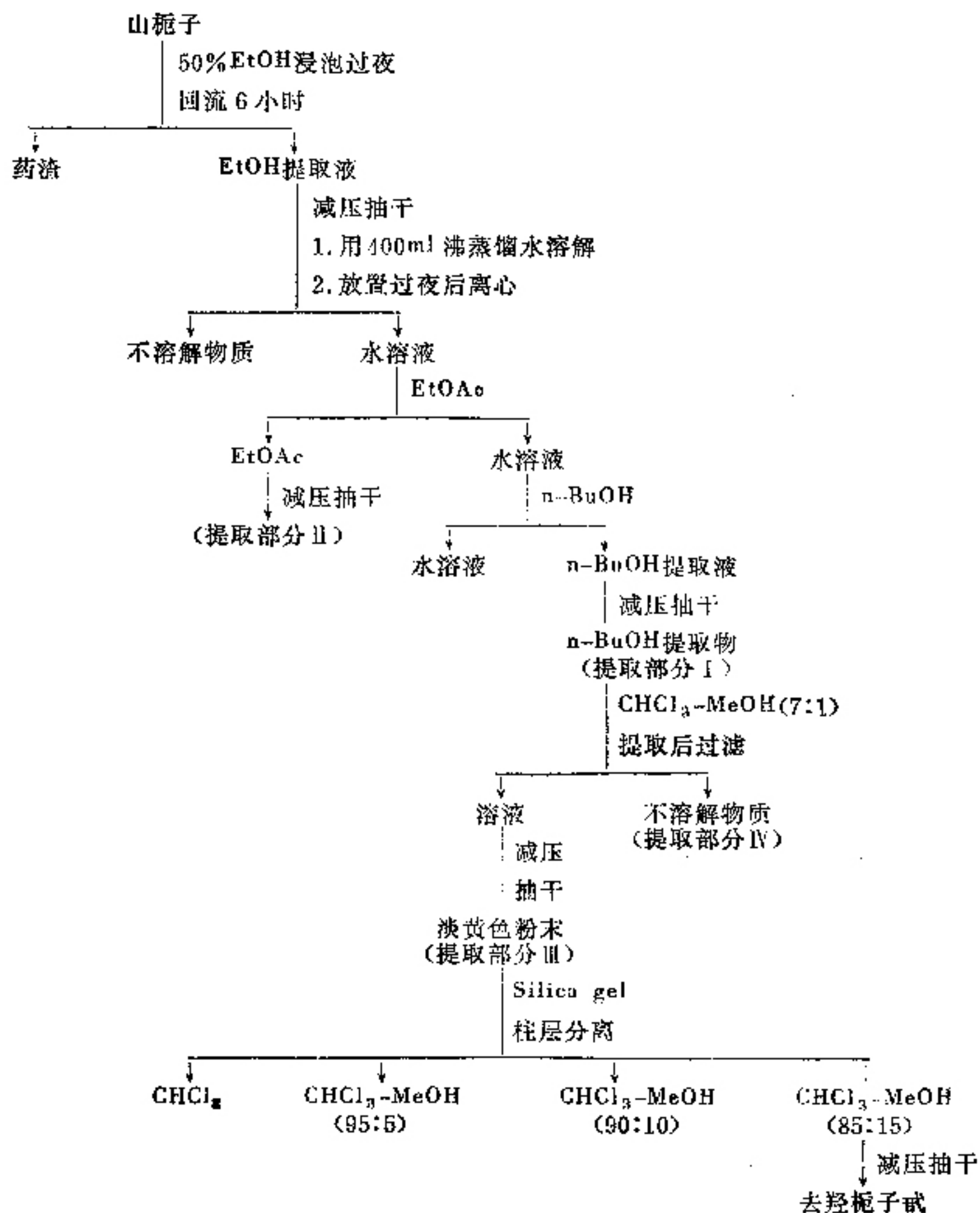
方法和结果

ANiT中毒以及服食各提取物, 均用灌胃导管直接

经口腔灌服。实验组每只大白鼠服提取物5次，即在中毒前一天服2次，中毒后6小时服1次，第2天服2次。大白鼠中毒后48小时用乙醚麻醉，心脏抽血。对照组动物同时灌服2.5ml蒸馏水。所有动物在ANiT中毒前以及杀死前分别禁食18小时，自由饮水。

山梔子的提取流程是根据 Inouye 和 Saito⁽⁴⁾ 以及 Endo 和 Taguchi⁽⁵⁾ 方法略作改进（表1）。血清胆红素按 Malloy 和 Evelyn 方法⁽⁶⁾ 测定； SGPT 和 SGOT 按 Reitman 和 Franke⁽⁷⁾ 方法测定。测量仪器为 Varian Series 634型分光光度计。

表1 山梔子各成分的提取流程



肝组织病理标本的制备是取肝组织以 Bouin 液固定，按常规方法制片，H.E. 染色。

实验组的血清指标显著性是采用 t 检验方法，数据以 $\bar{X} \pm SD$ 表示。病理变化的显著性是根据等级的秩和检验方法来判断。

一、中毒大白鼠取样时间的选择

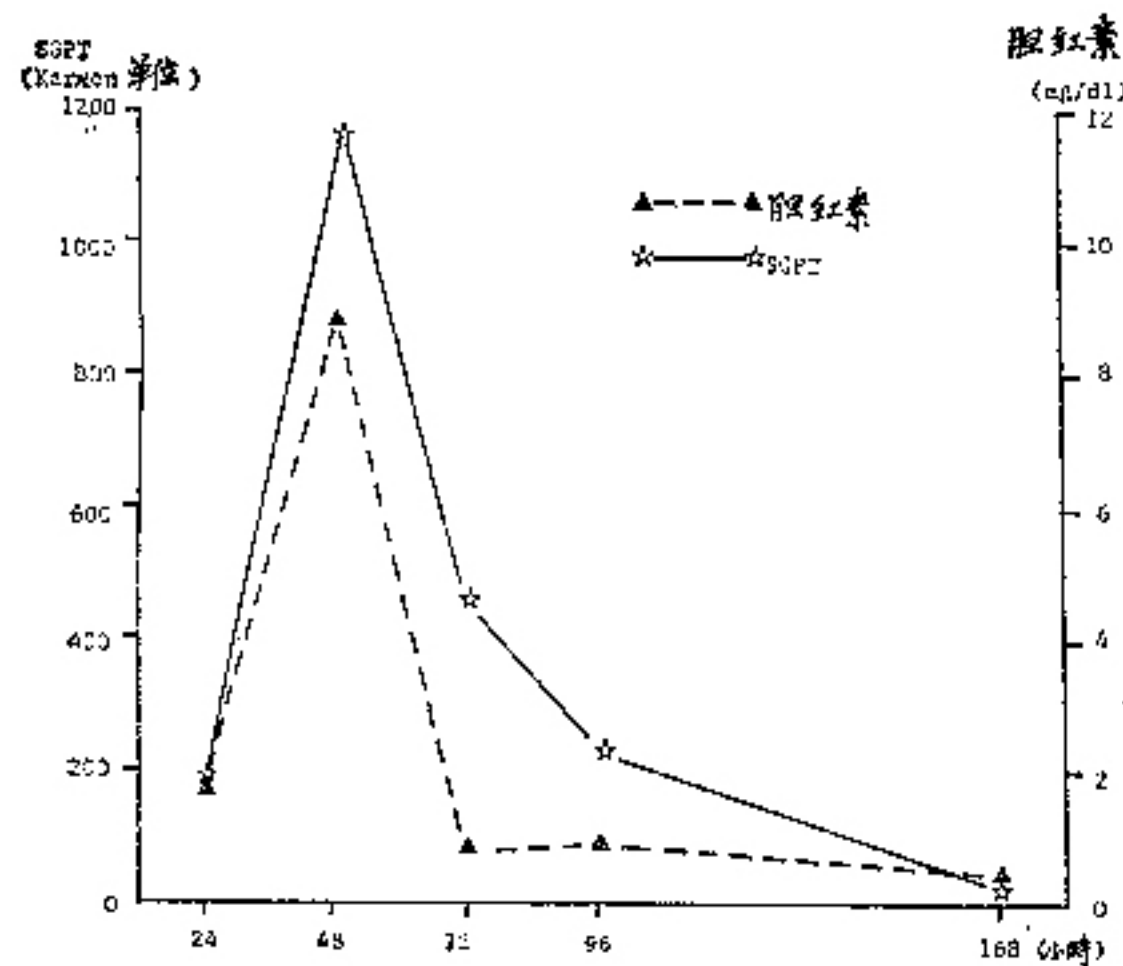
本研究使用的 ANiT 剂量为 1 次口服 100mg/kg。附图所见，中毒后 48 小时血清胆红素和 SGPT 都升至最高值，随后逐步下降，至 168 小时达到正常值。本研究采用 ANiT 中毒后 48 小时作为检验各项指标的时间。

二、茵陈蒿汤乙醇提取物的作用

从表 2 可以看到，茵陈蒿汤对降低 SGPT 和 SGOT 都有非常显著作用 ($P < 0.001$)，对血清胆红素略有降低，但无显著性意义。SGOT/SGPT 比值与对照组比较有显著性差异 ($P < 0.01$)。

三、茵陈蒿、山梔子和大黄乙醇提取物的作用

为了探讨茵陈蒿汤中起主要作用的成分，将三种组成药材分别进行实验，结果如表 3：茵陈蒿加大黄 (A+C)、单味茵陈蒿 (A) 以及单味大黄 (C) 对血清指标与对照组比较都没有明显作用，而山梔子加大黄 (B+C) 及单味山梔子 (B) 对 SGPT 和 SGOT 都有非常



附图 大白鼠($n=6$)一次灌服ANiT(100mg/kg体重)后不同时间血清胆红素和SGPT的变化情况

表2 茵陈蒿汤对降低血清胆红素和转氨酶的作用

| 组别 | n | SB (mg/dl) | SGPT (KU) | SGOT (KU) | SGOT/ SGPT |
|-----|----|---------------|--------------|--------------|---------------|
| 实验组 | 12 | 6.98±2.98 | 341±259** | 598±347** | 2.00±0.69* |
| 对照组 | 6 | 7.97±1.55 | 1355±285 | 1398±159 | 1.07±0.21 |

n=动物数，下同；*P<0.01；**P<0.001

表3 茵陈蒿、山楂子和大黄乙醇提取物的试验结果

| 组别 | n | SB (mg/dl) | SGPT (KU) | SGOT (KU) | SGOT/SGPT |
|-----|----|---------------|--------------|--------------|-----------|
| A+C | 6 | 9.80±1.76 | 1253±243 | — | — |
| 对照组 | 5 | 8.66±1.91 | 1000±263 | — | — |
| B+C | 12 | 8.70±1.70 | 361±148** | 308±176** | 0.86±0.27 |
| 对照组 | 6 | 10.30±3.80 | 814±196 | 1125±343 | 1.38±0.23 |
| A' | 6 | 9.36±1.69 | 1411±352 | — | — |
| 对照组 | 6 | 8.88±1.60 | 1034±448 | — | — |
| B | 12 | 6.30±2.60 | 265±154 | 358±282** | 1.30±0.52 |
| 对照组 | 6 | 9.50±1.40 | 1171±285 | 1216±66 | 1.09±0.26 |
| C | 6 | 7.70±0.67 | 1231±384 | 1387±96 | 1.26±0.56 |
| 对照组 | 6 | 6.83±0.93 | 1069±216 | 1375±136 | 1.32±0.26 |

*P<0.05；**P<0.001

显著的效果($P<0.001$)；对血清胆红素也有所降低，而B组和对照组比较有显著性差异($P<0.05$)。由此可见，在本实验条件下，茵陈蒿汤的良好疗效，山楂子起着重要的作用。大黄的实验结果与对照组基本相同，三项血清指标不但没有降低，甚至比对照组稍高。

四、山楂子不同溶剂提取物的作用

根据山楂子乙醇提取物的上述显著效应，进一步地对其不同溶剂提取物分别进行系统的实验，以探讨它的有效成分。

实验结果(表4)表明，提取部分I和提取部分

表4 山楂子不同溶剂提取物的实验结果

| 组 别 | n | SB (mg/dl) | SGPT (KU) | SGOT (KU) | SGOT/ SGPT | 肝重/ 体 重 (mg/g) |
|----------|----|---------------|--------------|--------------|---------------|----------------------|
| 提取部分 I | 17 | 3.91±3.43* | 349±216** | 589±327** | 1.79±0.56 | 41±6 |
| 对照组 | 11 | 8.93±4.35 | 1345±532 | 1450±270 | 1.12±0.45 | 37±4 |
| 提取部分 II | 6 | 8.50±3.30 | 1320±349 | 1485±56 | 1.22±0.45 | 33±2 |
| 对照组 | 6 | 9.97±5.80 | 1179±617 | 1423±336 | 1.25±0.63 | 35±2 |
| 提取部分 III | 11 | 5.98±4.15* | 236±181** | 597±439* | 2.91±1.26 | 47±5* |
| 对照组 | 10 | 10.32±4.29 | 984±324 | 1237±309 | 1.35±0.45 | 41±5 |
| 提取部分 IV | 6 | 7.50±3.02* | 1417±386 | 1395±205 | 1.02±0.15 | 41±5* |
| 对照组 | 6 | 12.30±2.80 | 1971±605 | 1765±373 | 0.97±0.37 | 36±1 |

* P<0.05；** P<0.001

Ⅱ两组，对降低血清的三项指标都有显著($P<0.05$)或非常显著($P<0.001$)效果；提取部分IV对胆红素有显著性降低($P<0.05$)，但对SGPT和SGOT则没有明显影响。提取部分I组的血清指标与对照组比较无明显差异。

根据山楂子不同溶剂的实验结果，我们曾经研究了山楂子的主要成分去羟栀子甙(Geniposidic)对肝功能的作用，发现它具有非常良好的降低血清胆红素和转氨酶的功效。关于去羟栀子甙的研究结果，将于另文发表⁽⁸⁾。

五、肝组织病理学观察

经各种提取物治疗后肝组织的主要病理变化如表5，和对照组(图1)比较A+B+C组(茵陈蒿汤)虽然没有显著性差异，但损伤有所减轻(图2)；A+C、A'和C三个实验组的病理没有显著好转，相反，C组的灶性坏死数比对照组却有显著性增加(表5)。病理变化有显著性好转的实验组有B组、提取部分I和提取部分III三组，其中B组和提取部分III组的坏死病灶数有明显的减少，胆管周围炎和片状坏死也有所减轻；提取部分I的主要病理指标都有显著性好转(表

表 5 肝组织的主要病理变化

| 组 别 | 动物数 | 病 灶 性 坏 死 ^A | | | | | | 胆 管 周 围 炎 ^{△△} | | | | | | 片 状 坏 死 ^{△△} | | | | | |
|----------|-----|------------------------|---|----|-----|------|---|-------------------------|---|----|-----|---|---|-----------------------|----|-----|---|---|--|
| | | - | + | ++ | +++ | ++++ | P | - | + | ++ | +++ | P | - | + | ++ | +++ | P | | |
| A+B+C | E | 12 | 3 | 4 | 1 | 2 | | 1 | 5 | 5 | 1 | | 2 | 4 | 4 | 2 | | | |
| | C | 6 | 0 | 1 | 2 | 3 | 0 | 0 | 1 | 2 | 3 | | 0 | 2 | 2 | 2 | | | |
| A+C | E | 6 | 0 | 2 | 2 | 2 | 0 | 0 | 0 | 4 | 2 | | 0 | 0 | 2 | 4 | | | |
| | C | 5 | 0 | 3 | 1 | 1 | 0 | 0 | 0 | 3 | 2 | | 0 | 0 | 2 | 3 | | | |
| B+C | E | 12 | 4 | 6 | 1 | 1 | 0 | 0 | 1 | 11 | 0 | | 0 | 2 | 8 | 2 | | | |
| | C | 6 | 2 | 3 | 0 | 0 | 1 | 0 | 0 | 5 | 1 | | 0 | 0 | 3 | 3 | | | |
| A' | E | 6 | 0 | 2 | 3 | 1 | 0 | 0 | 4 | 2 | 0 | | 0 | 1 | 5 | 0 | | | |
| | C | 6 | 1 | 3 | 1 | 0 | 1 | 0 | 1 | 5 | 0 | | 0 | 0 | 2 | 4 | | | |
| B | E | 12 | 3 | 9 | 0 | 0 | 0 | 0 | 0 | 7 | 5 | | 0 | 0 | 6 | 6 | | | |
| | C | 6 | 0 | 2 | 3 | 1 | 0 | * | 0 | 0 | 5 | 1 | | 0 | 0 | 4 | 2 | | |
| C | E | 6 | 0 | 0 | 3 | 0 | 3 | 0 | 0 | 5 | 1 | | 0 | 2 | 2 | 2 | | | |
| | C | 6 | 0 | 5 | 1 | 0 | 0 | * | 0 | 0 | 5 | 1 | | 0 | 0 | 2 | 4 | | |
| 提取部分 I | E | 17 | 6 | 8 | 1 | 1 | 1 | * | 1 | 7 | 9 | 0 | * | 1 | 8 | 8 | 0 | * | |
| | C | 11 | 0 | 2 | 2 | 5 | 2 | | 0 | 0 | 7 | 4 | | 0 | 0 | 4 | 7 | | |
| 提取部分 II | E | 6 | 0 | 2 | 3 | 1 | 0 | | 0 | 0 | 4 | 2 | | 0 | 0 | 3 | 3 | | |
| | C | 6 | 0 | 2 | 2 | 2 | 0 | | 0 | 0 | 3 | 3 | | 0 | 0 | 1 | 5 | | |
| 提取部分 III | E | 11 | 3 | 6 | 2 | 0 | 0 | * | 0 | 6 | 3 | 2 | | 0 | 2 | 6 | 3 | | |
| | C | 10 | 0 | 2 | 4 | 3 | 1 | | 0 | 0 | 8 | 2 | | 0 | 0 | 2 | 7 | | |
| 提取部分 IV | E | 6 | 0 | 1 | 4 | 0 | 1 | | 0 | 0 | 4 | 2 | | 0 | 0 | 6 | 0 | | |
| | C | 6 | 0 | 2 | 3 | 1 | 0 | | 0 | 0 | 5 | 1 | | 0 | 0 | 5 | 1 | | |

E 实验组

^A 在64mm²肝组织内的病灶数:^{△△}按如下表示:

▲ 实验组比对照

C 对照组

— 无

— 基本正常

组损伤严重

* P<0.05

+ 1~4

+ 轻 度

++ 5~8

++ 中 度

+++ 9~12

+++ 重 度

++++ 12以上

5, 图3)。提取部分Ⅱ和提取部分Ⅳ的病理状况(表5, 图4)与对照组基本相同, 由上看出, 各实验组的肝组织病理与血清指标似乎有相应的变化。

讨 论

人们在探讨治疗肝炎药物的过程中, 选用过多种作用机理不同的肝炎实验模型, 但是这些模型都与病毒性肝炎有较大的差别。而且, 由于每种药物有其独特的药理作用, 因此对一些模型有效, 而对另一些模型却不一定有效, 例如临床实践已经肯定有明显疗效的茵陈蒿汤, 使用CCl₄中毒模型便不能反映出它的药

理效应⁽⁹⁾, 所以, 实验模型的选择是相当重要的。本研究使用ANiT中毒模型, 在中毒后48小时, SGPT和SGOT急升至正常水平的20多倍, 血清胆红素上升至100倍左右, 在这种肝功能损伤严重的情况下, 经过短期的茵陈蒿汤或山楂子提取物的防治, 血清指标便有非常显著的降低, 与临床结果相似。由此可见, ANiT中毒模型用于研究治疗急性黄疸型或胆汁郁滞型肝炎的药物, 是有一定价值的。

在传统的认识中, 茵陈蒿是治疗黄疸的主药, 《本草正》指出茵陈蒿“专治黄疸, 宜佐栀子”。本研究结果证明山楂子在茵陈蒿汤中起着重要作用, 山楂子的

各种不同溶剂提取物，包括山栀子的乙醇提取物、正丁醇提取物（提取部分Ⅰ）、三氯甲烷—甲醇提取物（提取部分Ⅱ）及其主要成分去羟栀子甙，都有显著的降黄疸和转氨酶作用。茵陈蒿乙醇提取物(200mg)加大黄没有明显效应，单味茵陈蒿加倍剂量(400mg)亦未见明显作用。

在实验结果中，我们还观察到 SGOT/SGPT 比值的变化。除个别组之外，疗效较好的实验组，SGOT/SGPT 比值都比对照组的大，而疗效较差的实验组，该比值则比对照组的小或近似对照组，这种现象我们在去羟栀子甙疗效的研究中亦观察到⁽⁸⁾，并且呈现疗效愈好 SGOT/SGPT 比值愈大的趋向。从 SGOT/SGPT 比值的变化，似乎反映出提取物的疗效程度。关于 SGOT/SGPT 比值变化的可能原因，我们已在另一文中作了初步讨论⁽⁸⁾。

（本文图 1～4 见封三）

参 考 文 献

1. Toyohiko K. Clinical research on acute hepatitis, Bulletin of the Oriental Healing Arts Institute of U.S.A. 1984, 9:51.
2. Ninfa Indacochea-Redmond, et al. Functional effects of α -naphthylisothiocyanate in various species. Tox Appl Pharm 1971; 19:71
3. Schaffner F, et al. Mechanism of cholestasis. VII. α -naphthylisothiocyanate-induced jaundice. Lab Invest 1973; 28:321.
4. Inouye H, et al. Zwei Neue Iridoidglucoside Aus *Gardenia jasminoides*, Gardenosid und Geniposid. Tetrahedron Letters 1969; 28:2347,
5. Endo T, et al. The constituents of *Gardenia jasminoides* geniposide and genipin-gentibioside. Chem Pharm Bull 1973; 21:2684.
6. Malloy HT, et al. The determination of bilirubin with the photoelectric colotimeter. J Biol Chem 1937; 119:481.
7. Reitmen S, et al. A colorimetric method for the determination of serum glutamic oxalacetic and glutamic pyruvic transaminases. Am J Clin Path 1957; 28:56.
8. 郑若玄, 等. 去羟栀子甙对急性黄疸肝损伤的实验研究. (已送有关杂志发表)
9. 李景德. 茵陈蒿汤的药理作用研究. 私立中国药学院研究年报(台湾) 1979; 10:151.

中西医结合治疗巨大神经纤维瘤 1 例

中医研究院广安门医院 陈惠清

神经纤维瘤病是全身性显性遗传疾病，常有阳性家族史。其特点是有多数神经鞘膜肿瘤形成，少数从雪旺氏细胞发生雪旺氏瘤。目前尚无治愈本病的方法。我院曾于1982年用手术加中药的方法治疗1例，疗效尚满意。

患者王××，男，17岁，病历号013581。自出生时患者右背及右乳即发现有褐色斑，随着年龄的增长色素斑逐渐扩大并出现软组织的过度增生悬垂如肉屏，除自觉右背沉重及仰卧不适外无其他特殊感觉。经多方治疗无效于1982年3月收入我院外科病房。

入院体检：一般情况及智力良好，心肺无异常。右背部皮损上起肩胛骨上缘，下至第十二肋；内自脊柱中线，外达腋中线。并可见大片色素沉着，中心形成24×15cm的黑斑，皮肤极为粗糙，周围是富有弹性的赘瘤状红色结节，病变皮肤垂成一肉屏。同时合并有右乳皮下红色赘瘤状结节及脊柱侧弯，右胸廓内陷畸形。诊断：神经纤维瘤病。

治疗：入院后行常规准备，于1982年4月2日在高位硬膜外麻醉下行右背部及右乳房神经纤维瘤切除术。因皮损面积太大，不能完全切除病变组织，故保留

部份病变皮肤，潜行切除赘瘤。术后10天拆线，伤口一期愈合。由于病变组织未完全切净，故术后配合中药治疗。方用半枝莲30g 野菊花30g 当归尾12g 象皮(先下)9g 穿山甲9g 蛇蜕2条 全蝎6g，每日一剂水煎服，一月为一个疗程。共用4个疗程。用中药后原来未切净之病变皮损明显变薄，色素减退，至今已近二年，未见复发。术后病理：神经纤维瘤。

讨论：神经纤维瘤病常有数目不少的神经纤维瘤及咖啡斑，还常有骨骼和神经系统的损害或其他先天性异常，是一种遗传性发育不良的疾病。本病一般通过临床检查已可确诊，必要时可作病理证实。神经纤维瘤不易恶变，一般不须治疗。如果肿瘤太大或影响容貌可以手术切除，但术后有的可以复发。如何制止新的神经纤维瘤的继续出现和复发，目前尚无经验。本文报告1例手术后配合中药治疗此病，是探求预防复发的一种尝试。方中所用半枝莲清热解毒、活血消肿，野菊花清热解毒，当归尾活血祛瘀，象皮生肌敛疮，穿山甲攻坚散结、消肿通经，蛇蜕、全蝎攻(解)毒散结，此方共达清热解毒、活血软坚、消肿散结的功效。本例用后效果良好。